

Eu-Gd 区域的破缺 $U(3)$ 限 $U(6/12)$ 模型*

邵毅平

(江苏化工学院)

摘要

本文从超对称性破缺的角度讨论了位于典型 $U(3)$ 限区域的奇 A 核 $^{63}\text{Eu}^{153}$, 在能谱和 $B(E2)$ 方面得到了一些定量符合的结果。

线在
而在
Boso
的破
(L_f)

(3) \bar{x}

一

按照 IBFM 理论^[1-3], $^{63}\text{Eu}^{153}$ 的整个 Boson-Fermion 体系态空间 (只讨论正字称的 $j = 1/2, 3/2, 5/2$ 态) 存在如下的动力学超群链:

$$\begin{aligned} U(6/12) &\supset U^b(6) \otimes U^f(12) \supset U^b(6) \otimes U^f(6) \otimes U^f(2) \\ &\supset SU^b(3) \otimes SU^f(3) \otimes SU^f(2) \supset SU^{b+f}(3) \otimes SU^f(2) \\ &\supset SO^{b+f}(3) \otimes SU^f(2) \supset Spin(3) \supset Spin(2), \end{aligned} \quad (1)$$

对一个 Fermion 的情况 (无 Boson 分裂), 可取 $SU^b(3)$ 的基态表示空间作较好的近似处理, 得到 Boson-Fermion 态空间基矢的表达式:

$$\begin{aligned} & \left| U(6/12), U^b(6), U^f(12), U^f(6), SU^b(3), SU^f(3), \right. \\ & \quad \left| [I], [N], \{1\}, [1], (2N, 0), (2, 0), \right. \\ & \quad \left. SU^{b+f}(3), SO^{b+f}(3), SU^f(2), Spin(3), Spin(2) \right\rangle \\ & = \sum_{\substack{L_b L_f L \\ m_b m_f m_\sigma}} \langle (2N, 0)L_b, (2, 0)L_f | (\lambda, \mu)\chi, L \rangle \langle L_b m_b L_f m_f | Lm \rangle \\ & \quad \cdot \left\langle Lm \frac{1}{2}\sigma \middle| JM_J \right\rangle \cdot | [N](2N, 0)L_b m_b \rangle \\ & \quad \cdot | \{1\}[1](2, 0)L_f m_f \rangle \cdot \left| \frac{1}{2}\sigma \right\rangle. \end{aligned} \quad (2)$$

合得

其中 $\langle (2N, 0)L_b, (2, 0)L_f | (\lambda, \mu)\chi, L \rangle$ 是 $SU^{b+f}(3) \supset SO^{b+f}(3)$ 的同位标量因子 (I, S, F); $| [N](2N, 0)L_b m_b \rangle$ 是 Bosons 的态矢量; $| \{1\}[1](2, 0)L_f m_f \rangle$ 是 Fermion 质轨道角动量部分的态矢量; $\left| \frac{1}{2}\sigma \right\rangle$ 表示质自旋部分的态矢量。

* 中国科学院科学基金资助的课题

本文于 1985 年 7 月 9 日收到。

模型*

若用目前严格 $U(3)$ 限超对称性的通常方法计算^[2,3], 理论谱线与 $^{63}\text{Eu}^{153}$ 的实验谱线在能谱结构上存在重大差异。我们认为, 具有严格 $U(3)$ 限超对称性是一种理想情况, 而对于大形变核, 从满足超对称性所需要的条件 (Boson 作用强度、Fermion 作用强度及 Boson-Fermion 作用强度之比要满足 1:1:2) 进行分析^[1], 会出现偏离 $U(3)$ 限超对称性的破缺。因此, 本文引入表示 Boson 作用强度与 Fermion 作用强度差异的一项 $\hat{L}_f \cdot \hat{L}_f$ (\hat{L}_f 表示 Fermion 的赝轨道角动量算符), 则破缺超对称的 Hamiltonian 为

Eu^{153} ,

$$\hat{H} = \hat{H}_0(N, M = 1) + A \cdot \hat{C}_2(SU^{b+f}(3)) + B \cdot \hat{L} \cdot \hat{L} + C \cdot \hat{L} \cdot \hat{S} + D \cdot \hat{L}_f \cdot \hat{L}_f. \quad (3)$$

(3)式中除 $\hat{L}_f \cdot \hat{L}_f$ 以外, 其它项对基矢(2)都是对角的, 推出 $\hat{L}_f \cdot \hat{L}_f$ 的矩阵元为

$$\begin{aligned} & \langle [I], [N], \{1\}, [1], (2N, 0), (2, 0), (\lambda' \mu') \chi', L', 1/2, J', M'_J | \hat{L}_f \\ & \quad \cdot \hat{L}_f | [I], [N], \{1\}, [1], (2N, 0), (2, 0), (\lambda, \mu) \chi, L, 1/2, J, M_J \rangle \\ = & \sum_{\substack{L'_b L'_f L_b L_f \\ m'_b m'_f m_b m_f}} \sum_{\sigma' \sigma} \langle (2N, 0) L'_b, (2, 0) L'_f | (\lambda', \mu') \chi', L' \rangle \\ & \cdot \langle (2N, 0) L_b, (2, 0) L_f | (\lambda, \mu) \chi, L \rangle \cdot \langle L'_b m'_b L'_f m'_f | L' m' \rangle \langle L_b m_b L_f m_f | L m \rangle \\ & \cdot \left\langle L' m' \frac{1}{2} \sigma' \middle| J' M'_J \right\rangle \left\langle L m \frac{1}{2} \sigma \middle| J M_J \right\rangle \\ & \cdot \langle [N] (2N, 0) L'_b m'_b | [N] (2N, 0) L_b m_b \rangle \left\langle \frac{1}{2} \sigma' \middle| \frac{1}{2} \sigma \right\rangle \\ & \cdot \langle \{1\} [1] (2, 0) L'_f m'_f | \{1\} [1] (2, 0) L_f m_f \rangle \cdot L_f (L_f + 1) \\ = & \delta_{J' J} \delta_{M'_J M_J} \delta_{L' L} \sum_{L_f L_f} \langle (2N, 0) L_b, (2, 0) L_f | (\lambda', \mu') \chi', L' \rangle \langle (2N, 0) L_b, \\ & (2, 0) L_f | (\lambda, \mu) \chi, L \rangle \cdot L_f (L_f + 1). \end{aligned} \quad (4)$$

由对角化算出 \hat{H} 的理论谱线, 理论值与实验值的比较见表 1 及图 1。理论和实验符合得比较好, 这就说明确实应该考虑实际核中存在着超对称性破缺。

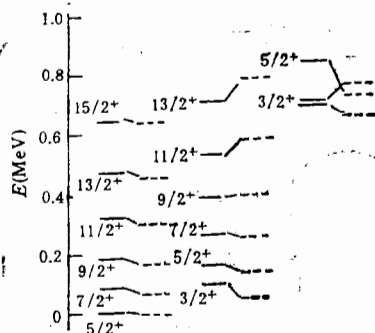


图 1 $^{63}\text{Eu}^{153}$ 的能谱(虚线为理论值 E_{th})

表 1 \hat{H} 的本征值及其波函数 (^{153}Eu)

J	E_{exp} (keV)	E_{th} (keV)	波函数
5/2	0	0	$ (18.2)2, 2, 5/2\rangle^*$
7/2	83.4	73.6	$ (18.2)2, 3, 7/2\rangle$
9/2	193.1	175	$ (18.2)2, 4, 9/2\rangle$
11/2	325.1	304.2	$ (18.2)2, 5, 11/2\rangle$
13/2	481.1	461.2	$ (18.2)2, 6, 13/2\rangle$
15/2	654.7	646	$ (18.2)2, 7, 15/2\rangle$
3/2	103.2	49	$ (18.2)2, 2, 3/2\rangle$
5/2	172.9	142.2	$ (18.2)2, 3, 5/2\rangle$
7/2	269.7	263.2	$ (18.2)2, 4, 7/2\rangle$
9/2	396.4	412	$ (18.2)2, 5, 9/2\rangle$
11/2	537.9	588.6	$ (18.2)2, 6, 11/2\rangle$
13/2	716.2	793	$ (18.2)2, 7, 13/2\rangle$
1/2	699	666	$0.9983 (18.2)0, 0, 1/2\rangle + 0.0589 (22.0)0, 0, 1/2\rangle$
3/2	713	773.8	$0.9981 (18.2)0, 2, 3/2\rangle - 0.0210 (20.1)1, 2, 3/2\rangle - 0.0582 (22.0)0, 2, 3/2\rangle$
5/2	842	724.8	$0.9981 (18.2)0, 2, 5/2\rangle - 0.0210 (20.1)1, 2, 5/2\rangle - 0.0582 (22.0)0, 2, 5/2\rangle$

* $|(18.2)2, 2, 5/2\rangle \equiv |(18.2) \chi = 2, L = 2, J = 5/2\rangle$, 其它类似. 实验值 E_{exp} 取自 Nucl. Phys., A132 (1969), 322. 参量取 $A = 80\text{keV}$; $B = 13.9\text{keV}$; $C = -9.8\text{keV}$; $D = -200\text{keV}$.

三

取 $E2$ 跃迁算子为

$$T(E2)_q = \alpha \cdot Q_q^{(2)} = \alpha \cdot [Q_q^{b(2)} + Q_q^{f(2)}], \quad (5)$$

式中 α 为参量; $Q_q^{(2)}$ 为 $SU^{b+f}(3)$ 的生成元. 由此推得 $J' \rightarrow J$ 的 $E2$ 跃迁约化几率为

$$\begin{aligned} B(E2; J' \rightarrow J) &= \frac{1}{2J' + 1} \left| \langle (\lambda, \mu) \chi' L', \frac{1}{2}, J' \| T(E2) \| (\lambda, \mu) \chi, L, \frac{1}{2}, J \rangle \right|^2 \\ &= \alpha^2 \cdot (2J + 1) \left\{ \begin{array}{l} L' J' \frac{1}{2} \\ J L \frac{1}{2} \end{array} \right\} |\langle (\lambda, \mu) \chi', L' \| Q^{(2)} \| (\lambda, \mu) \chi, L \rangle|^2. \end{aligned} \quad (6)$$

理论计算值与实验值符合得较好, 见图 2.

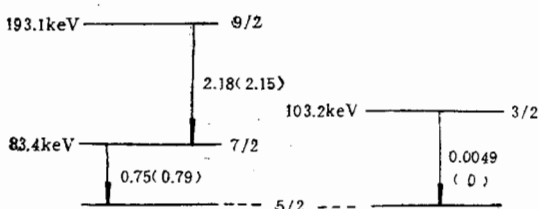


图 2 ^{153}Eu 的 $B(E2)$ 值(括号内为理论值; 实验值取自参考文献[4])

四

以统一的 Hamiltonian 计算了 $^{64}\text{Gd}^{154}$ 的能谱, 理论值与实验值的比较见图 3. 由(3)式推得的 Hamiltonian:

$$\hat{H}_{\text{even}} = \hat{H}_{0,\text{even}}(N) + (A + A') \cdot \hat{C}_2(SU^b(3)) + B \cdot \hat{L} \cdot \hat{L}, \quad (7)$$

参数 A' 的取值不影响 $^{63}\text{Eu}^{153}$ 的能谱.

验证超多重态还须从基态结合能, 以及更明确地从不同核素间的转移反应方面来进行.

$2, 3/2\rangle$
 $2, 5/2\rangle$
 incl. Phys.,

(5)

几率为

 $|J\rangle|^2$

(6)

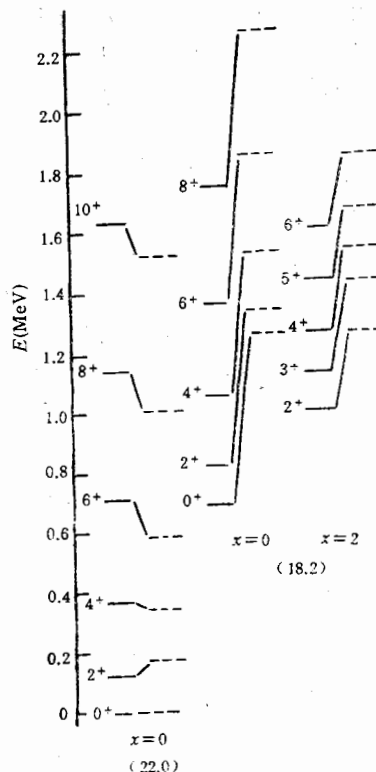


图 3 $^{64}\text{Gd}^{154}$ 的能谱(虚线为理论值 E_{th})
 参量取 $A' = -90\text{keV}$ $A = 80\text{keV}$ $B = 13.9\text{keV}$

作者衷心感谢周孝谦教授的指导!

参 考 文 献

- [1] A. B. Balantekin et al., *Nucl. Phys.*, **A370**(1981), 284.
- [2] A. B. Balantekin et al., *Phys. Rev.*, **C27**(1983), 1761.
- [3] Sun Hongzhou et al., *Phys. Lett.*, **124B**(1981), 275.
- [4] *Nucl. Data Sheets*, **37**(1982), 487.

THE PARTIALLY VIOLATED $U(3)$ LIMITS OF THE DYNAMICAL SUPERSYMMETRY $U(6/12)$ IN EUROPIUM-GADOLINIUM REGIONS

SHAO YI-PING

(Jiangsu Chemistry Engineering College)

ABSTRACT

The partially violated $U(3)$ limits of the $U(6/12)$ model is presented. The theoretical predictions are compared with existing experimental data of energy spectra and $B(E2)$. The theory tallies with experiment fairly good.

这些
们希
用的
这样
启示。
才
位素
跃迁。
体内音
的符合

以下
力, R